



1/22
JACK A. MANDELMAN, ET AL.
(JPA) FIS920010258US1

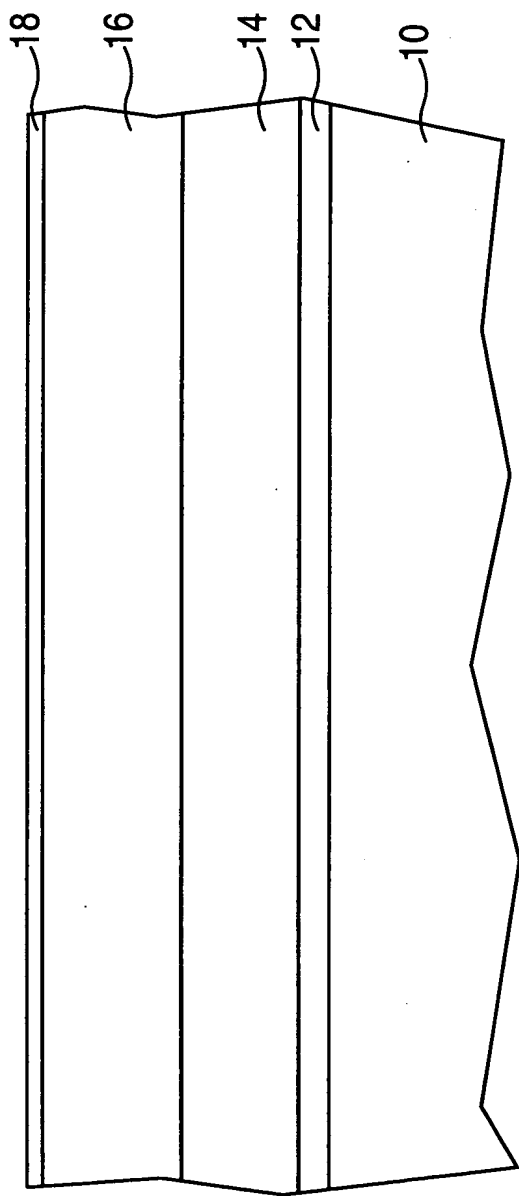


FIG. 1

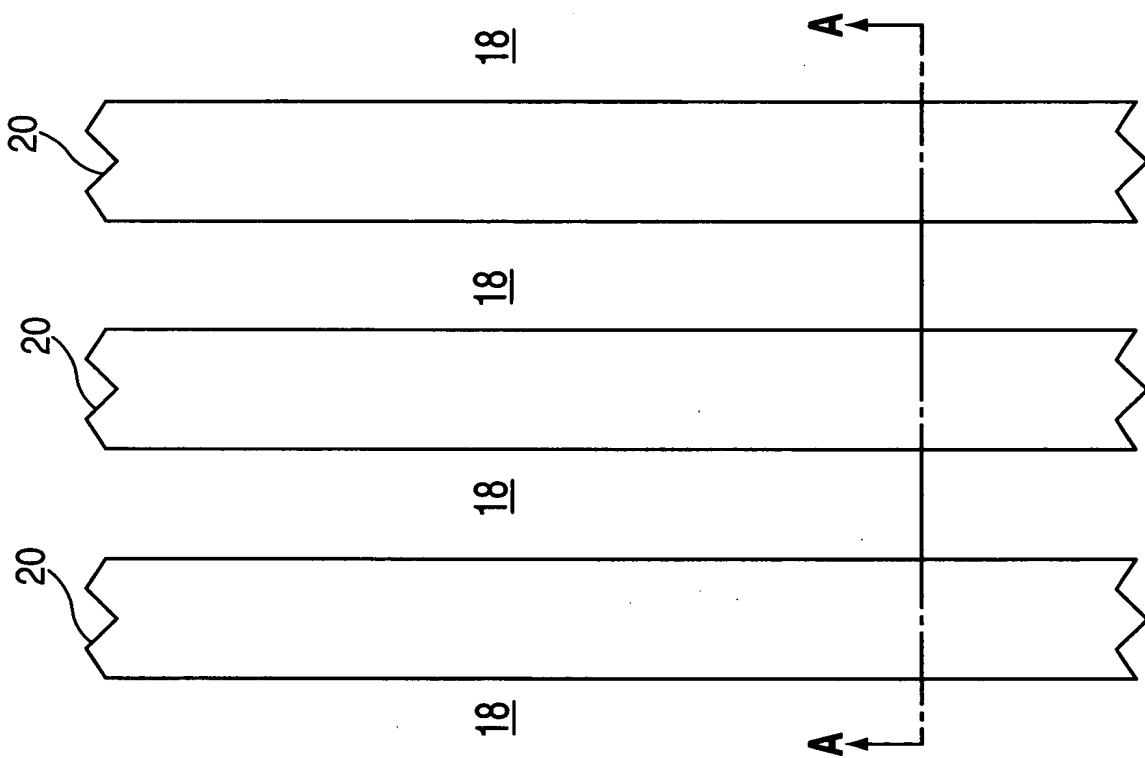


FIG. 2A

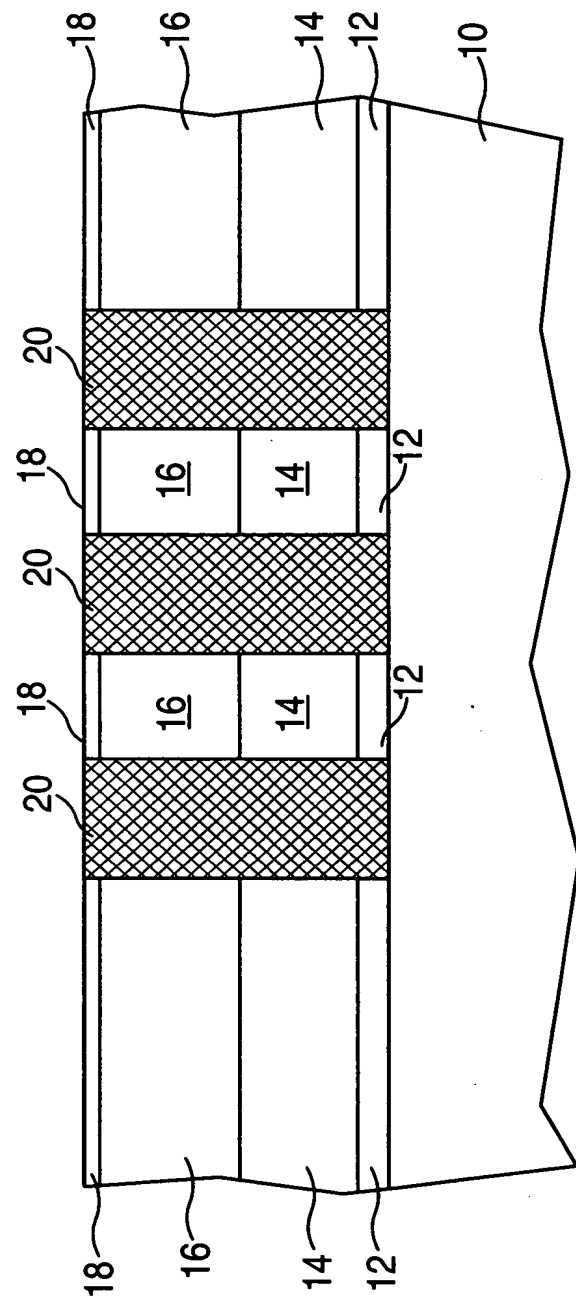
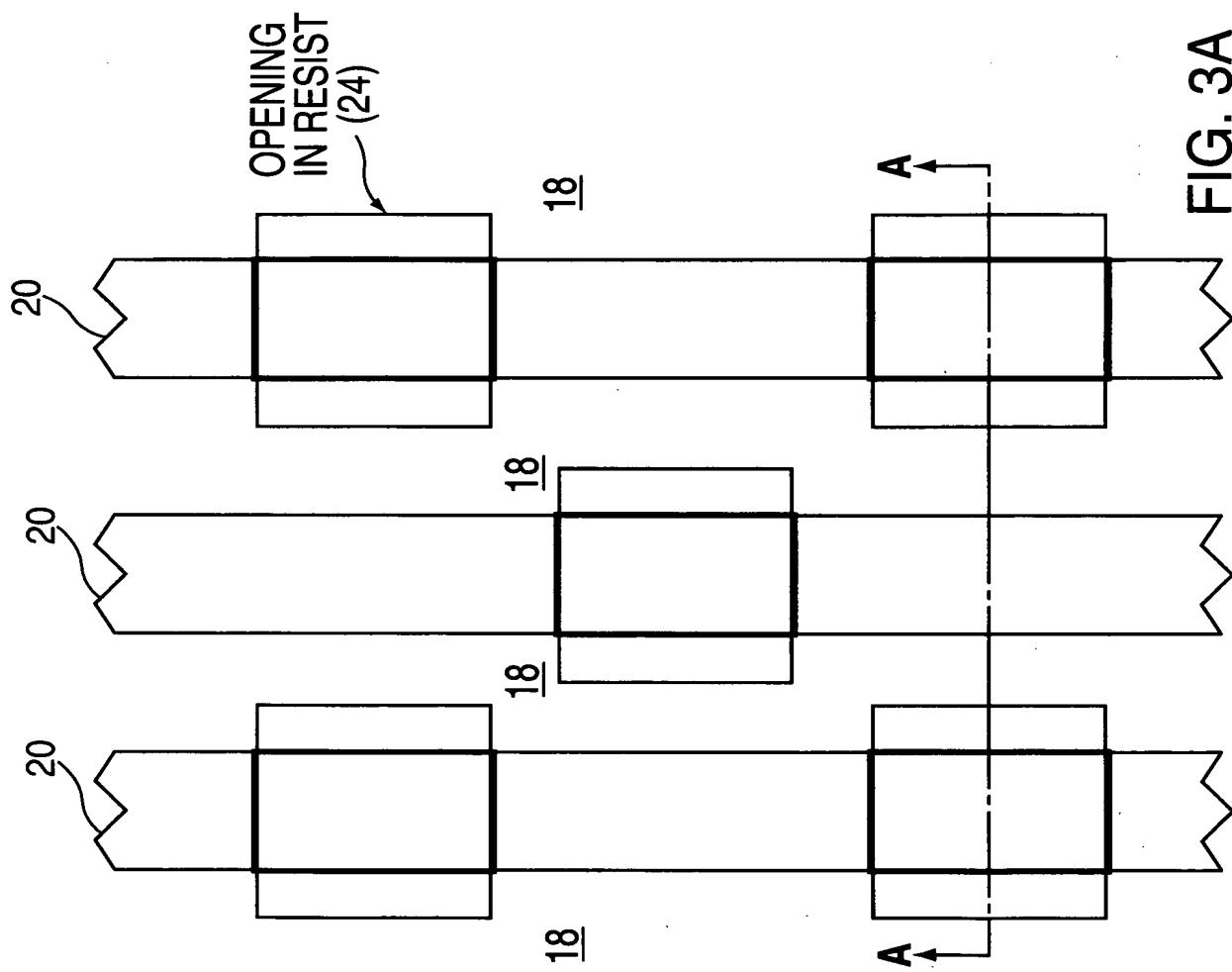
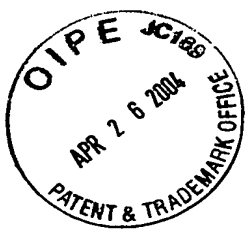


FIG. 2B



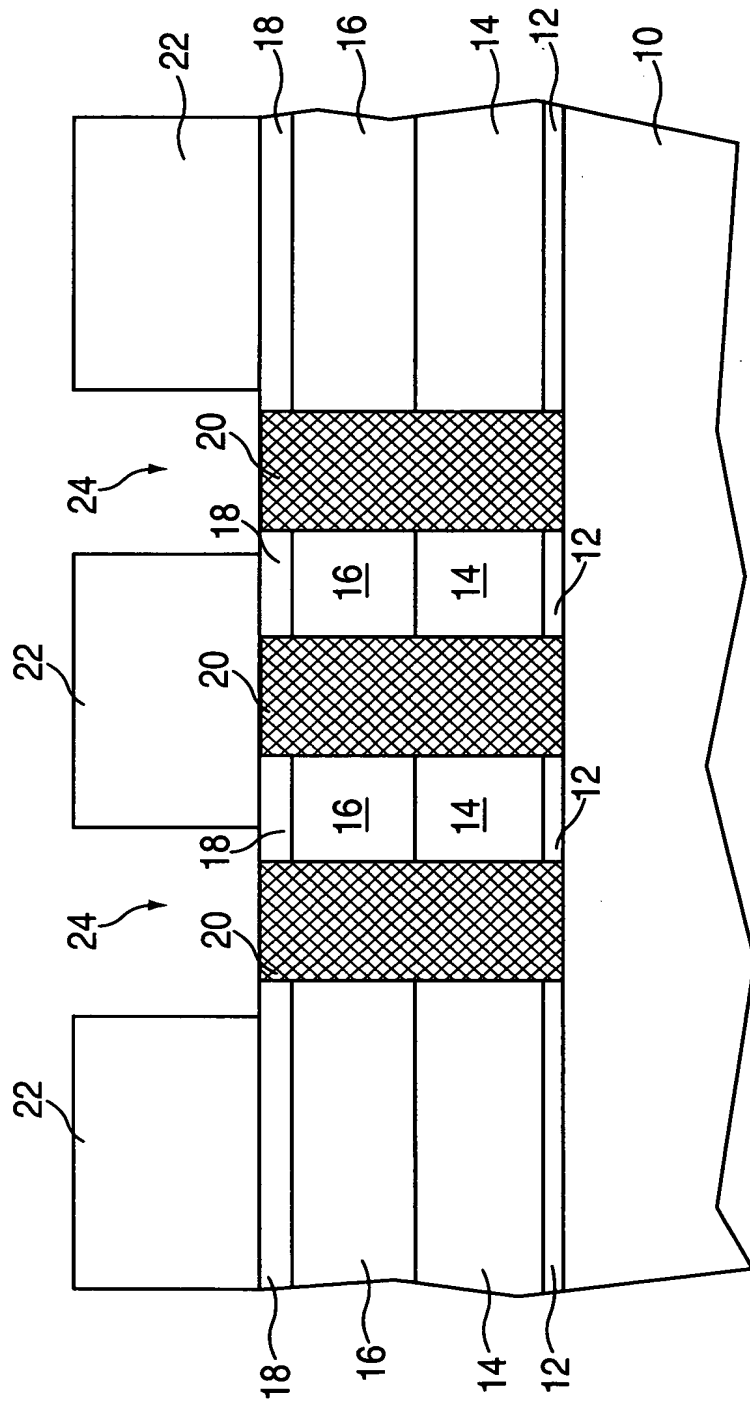


FIG. 3B

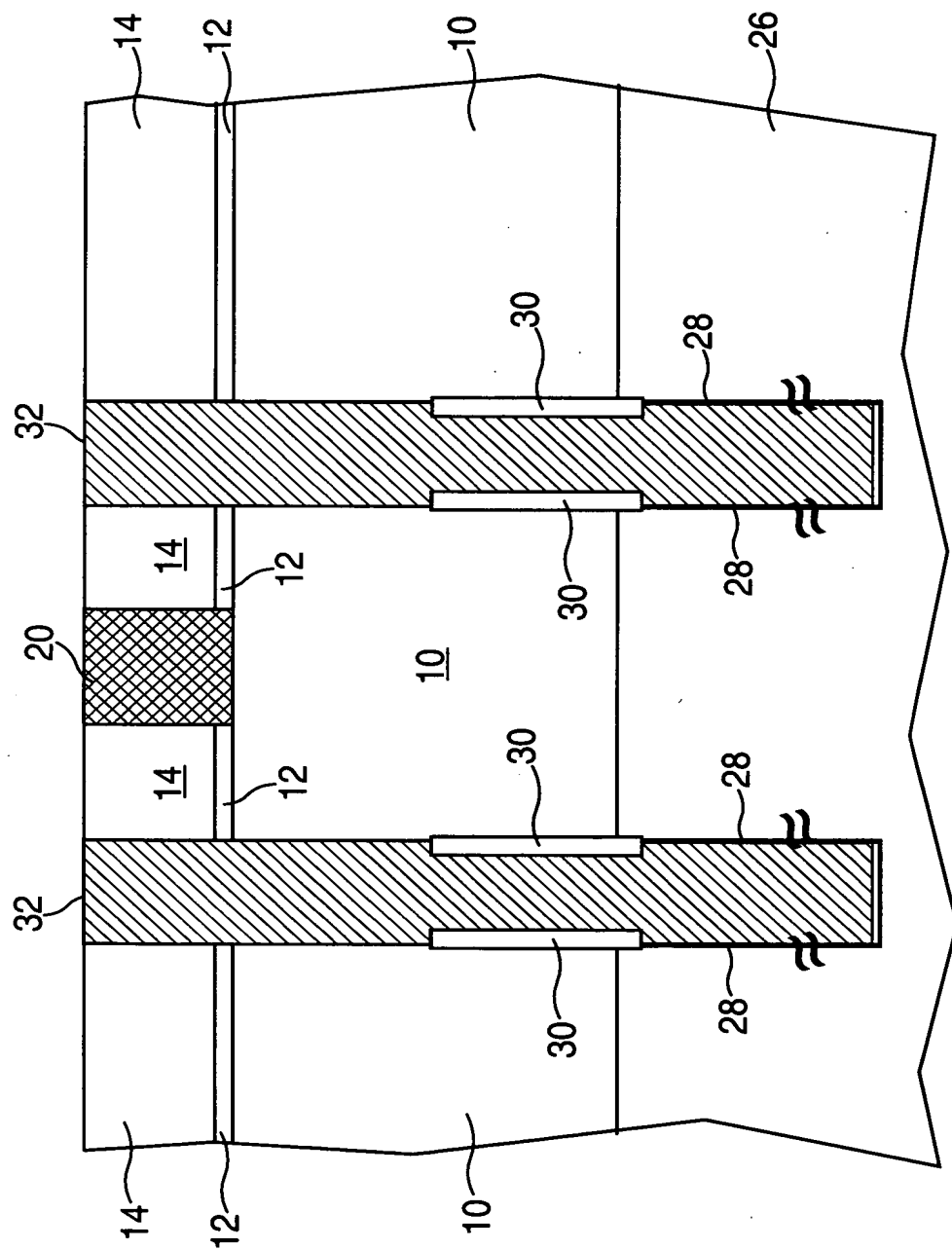
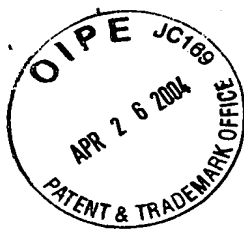
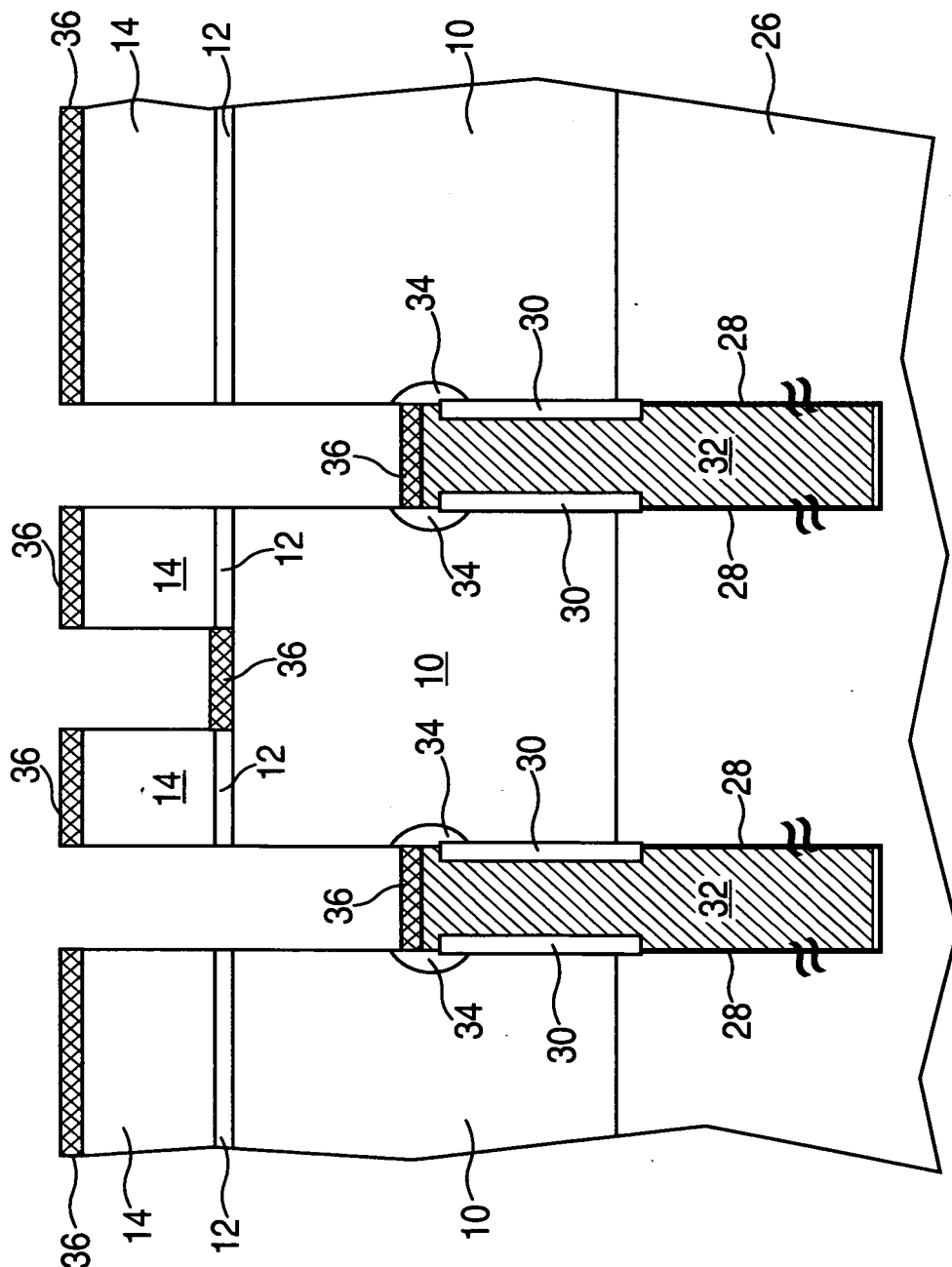
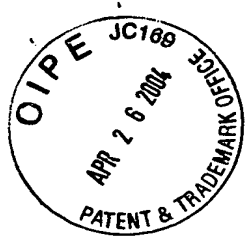


FIG. 4



5
FIG.

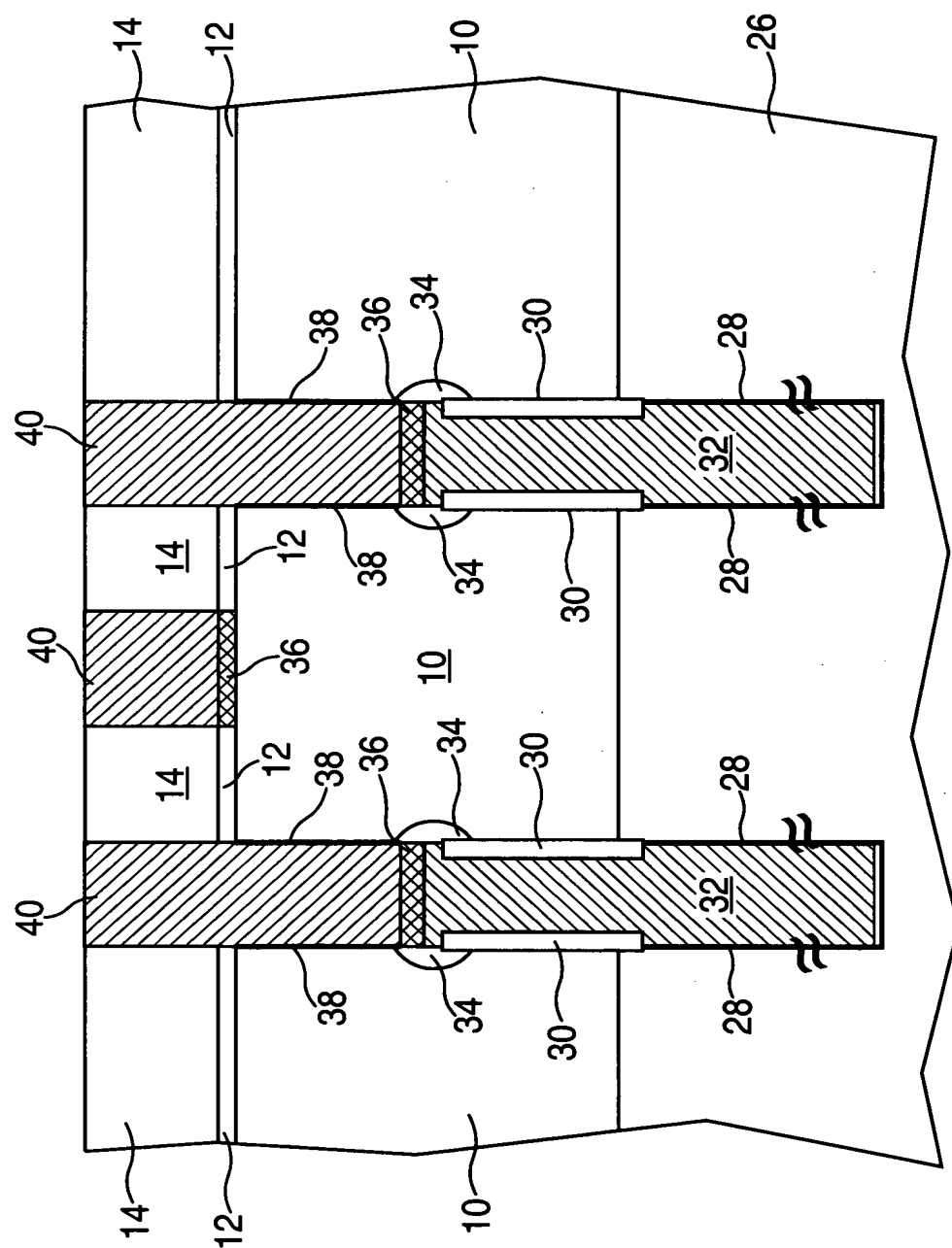
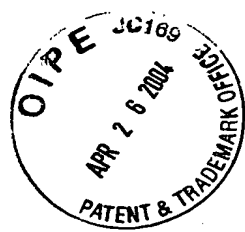


FIG. 6

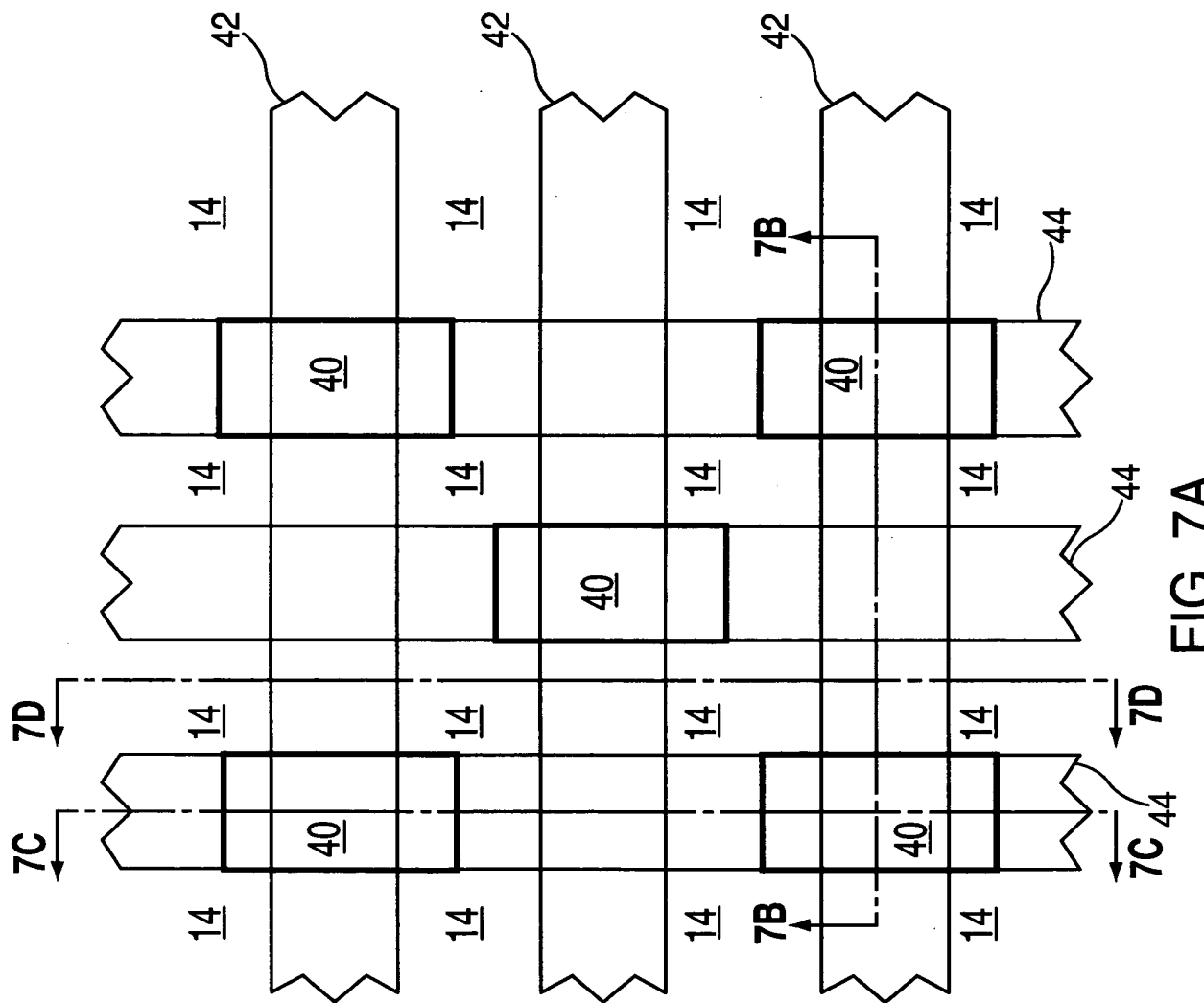
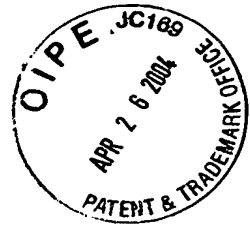
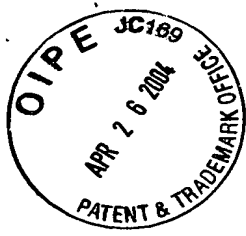


FIG. 7A



10/22
(JPA) FIS920010258US1

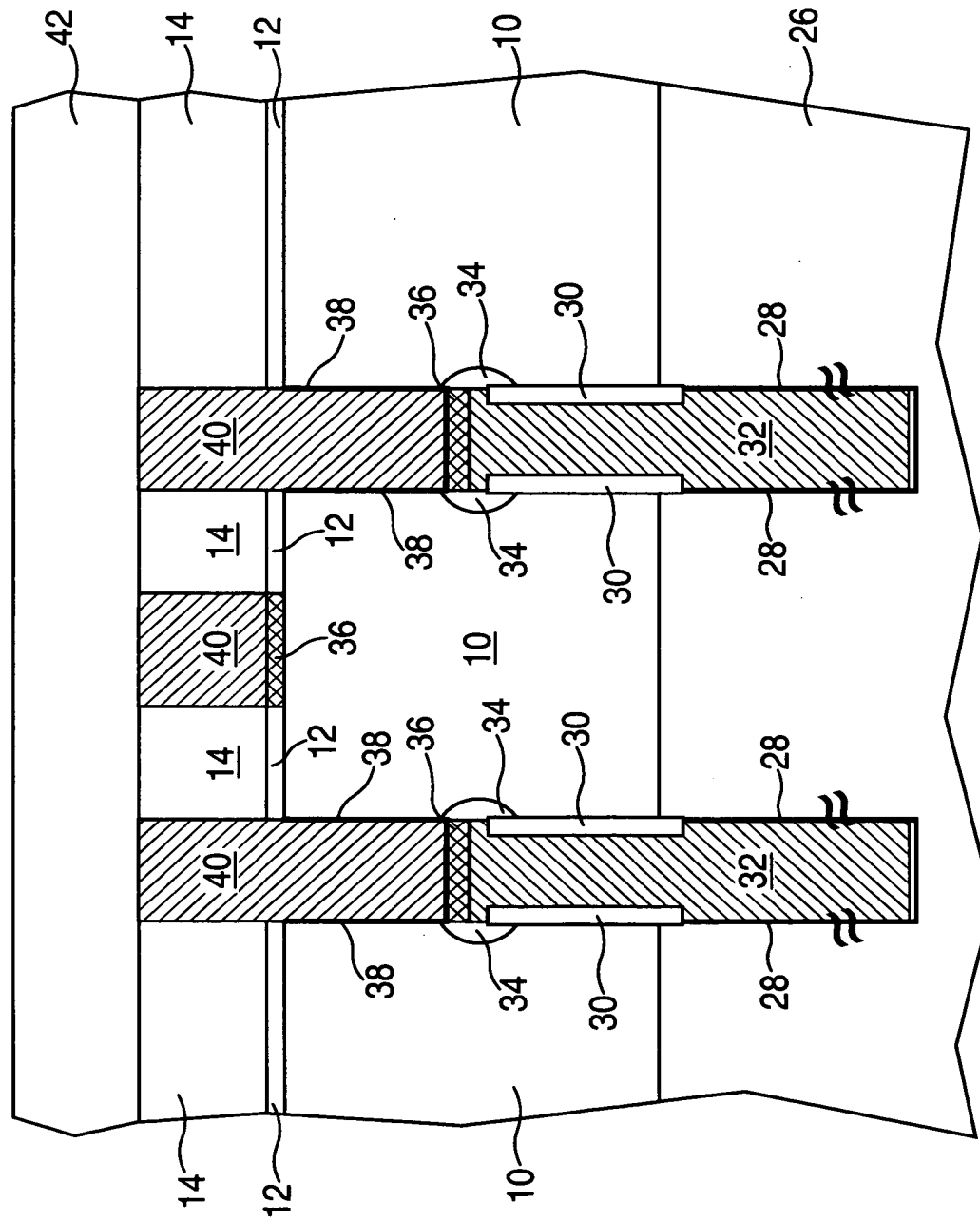


FIG. 7B

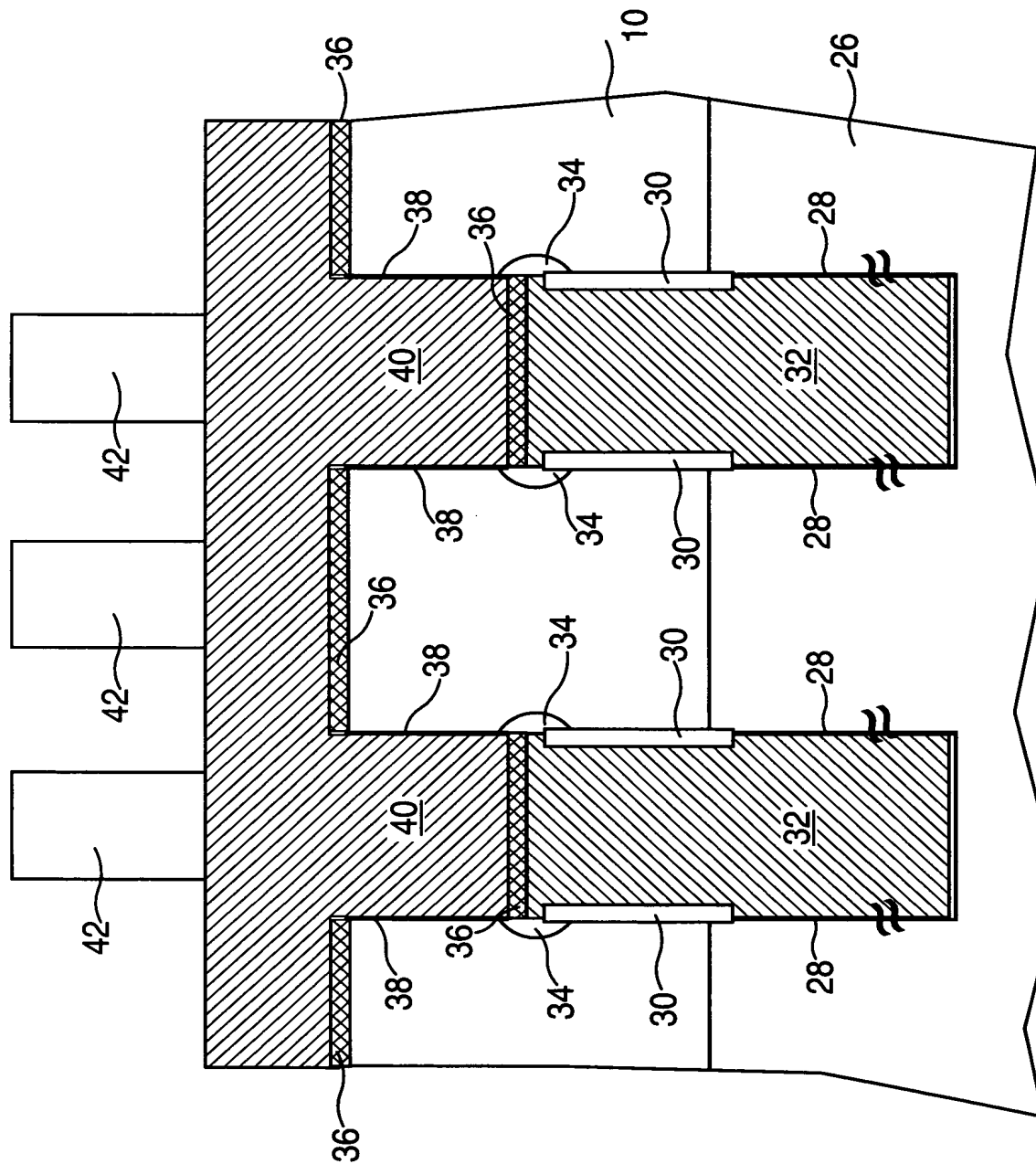
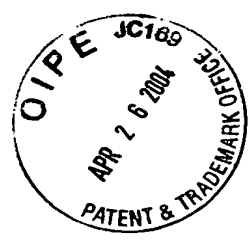


FIG. 7C

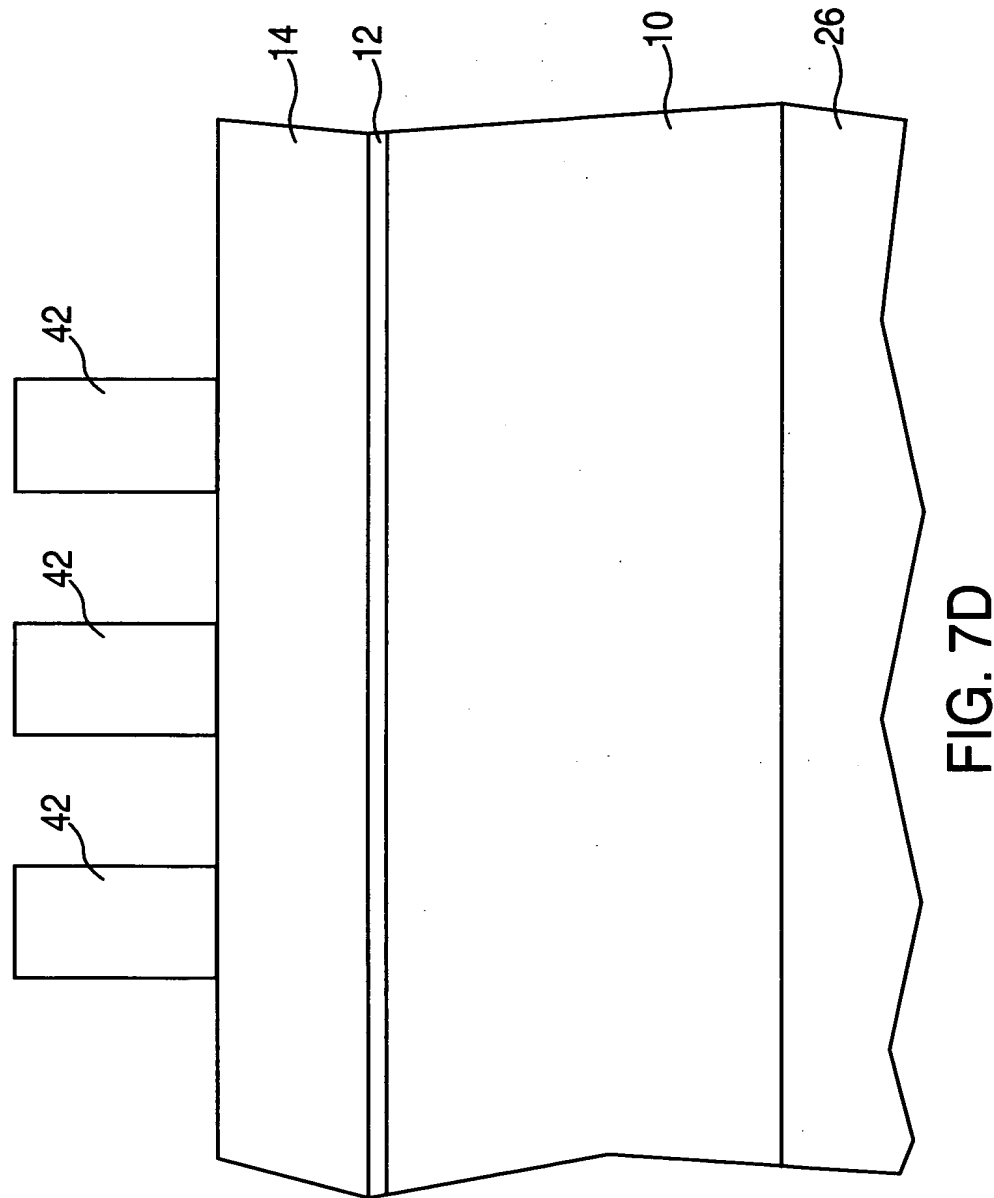
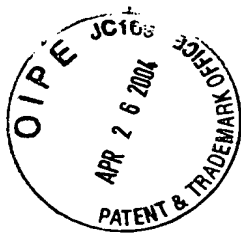
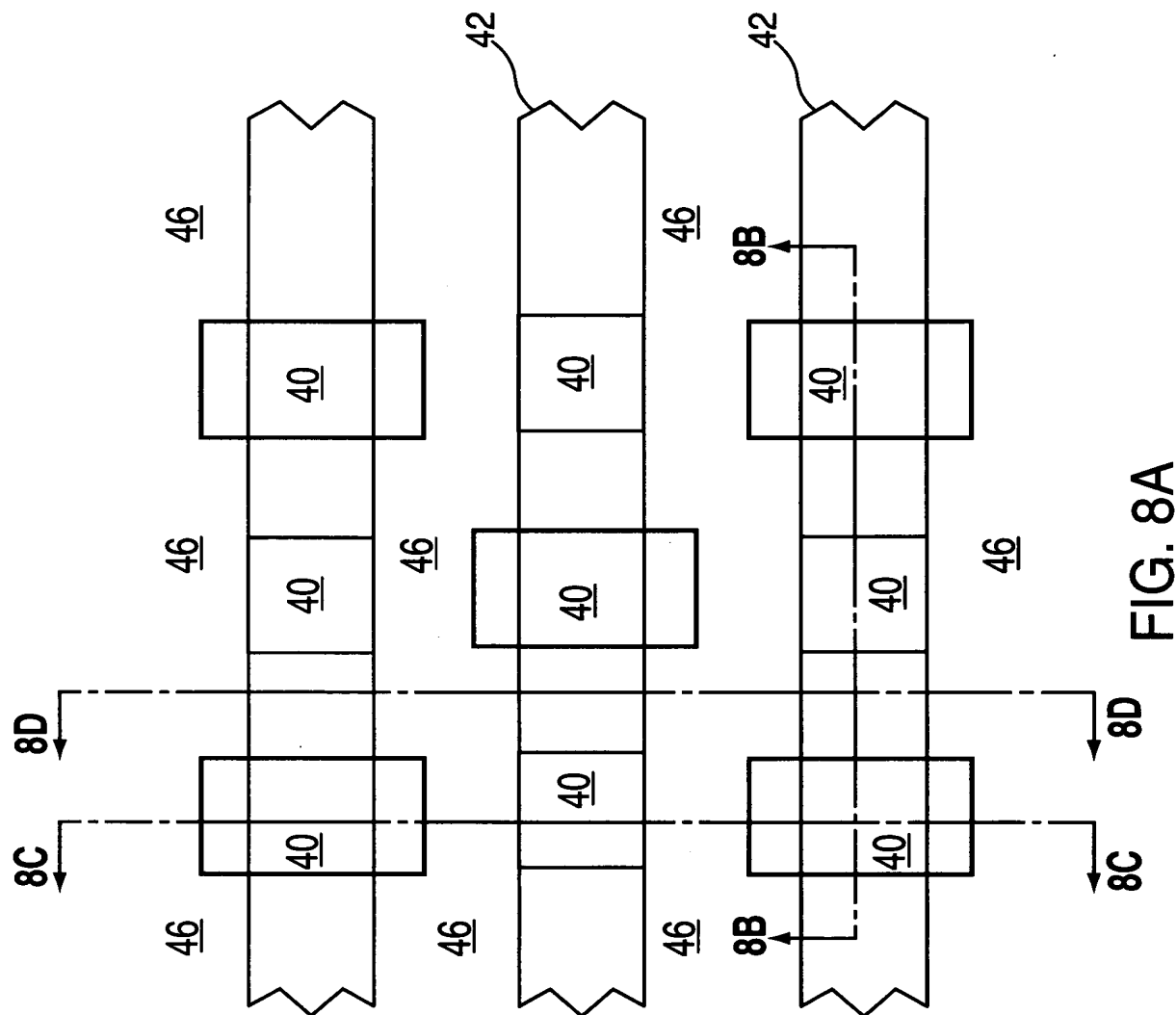
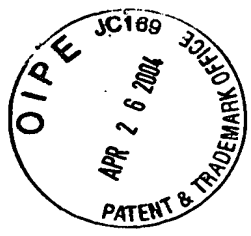


FIG. 7D



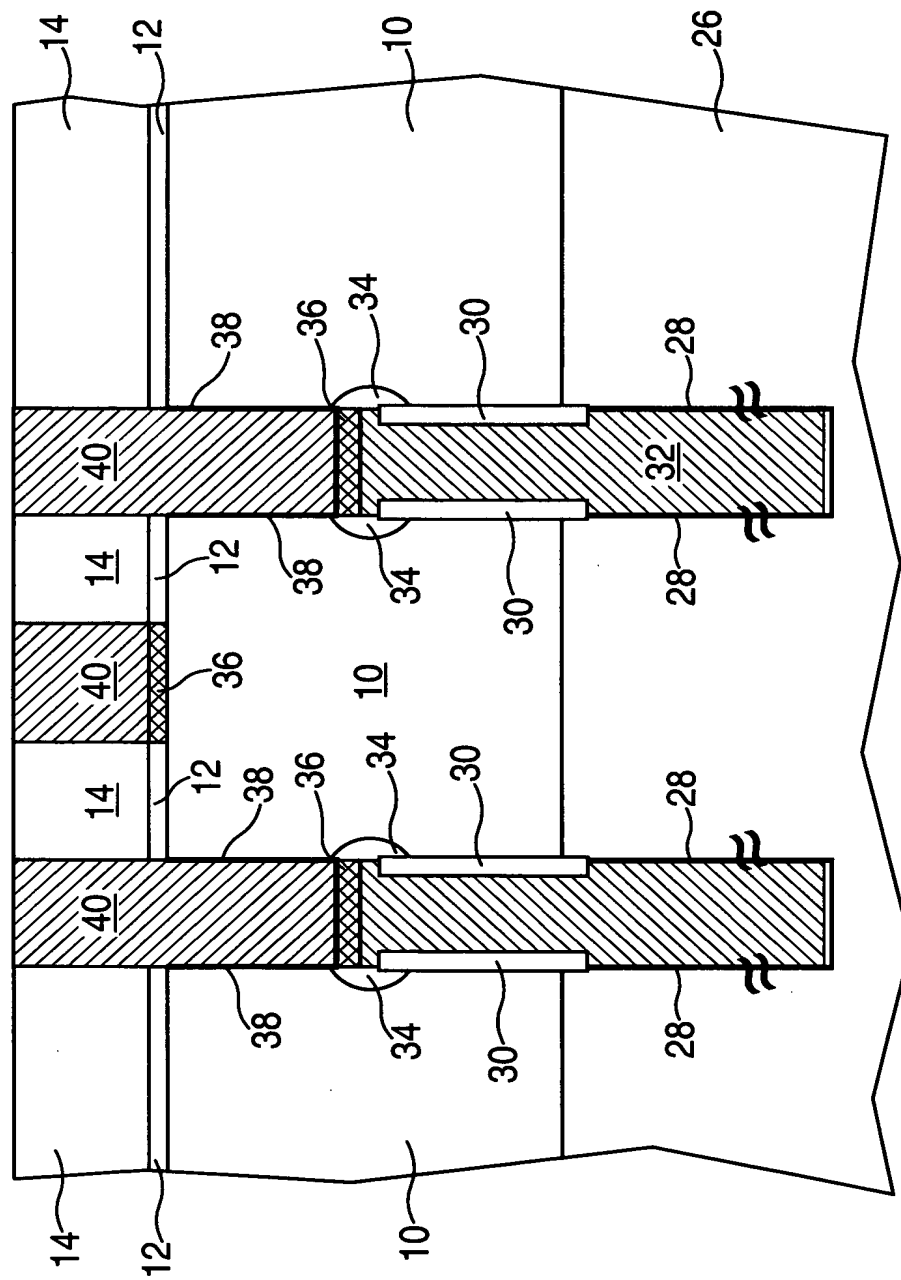
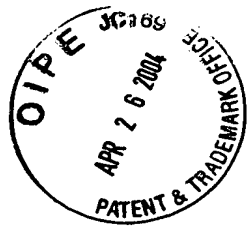


FIG. 8B

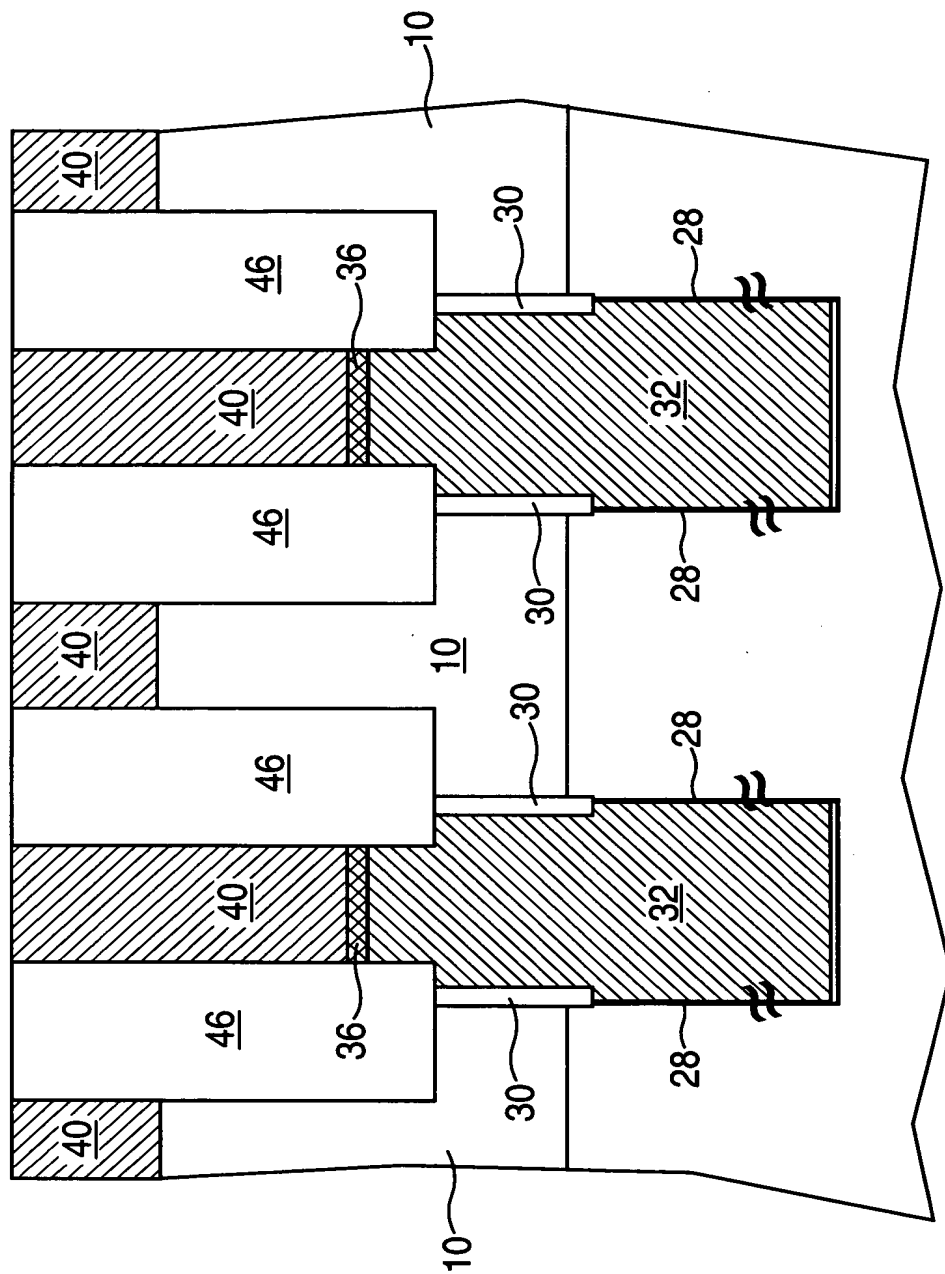
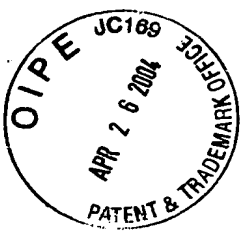


FIG. 8C

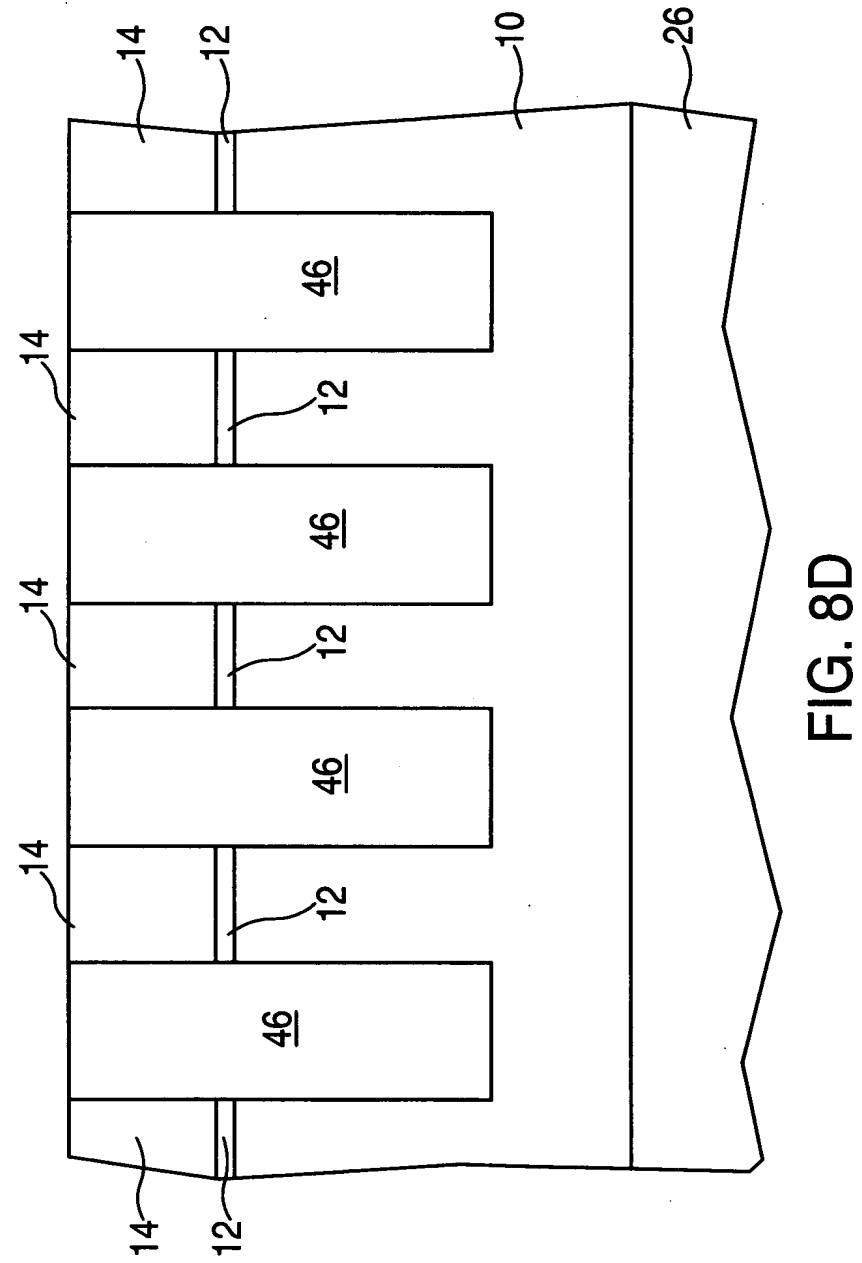
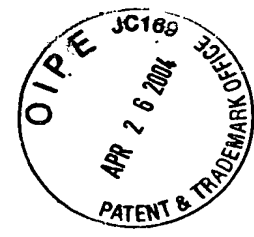


FIG. 8D

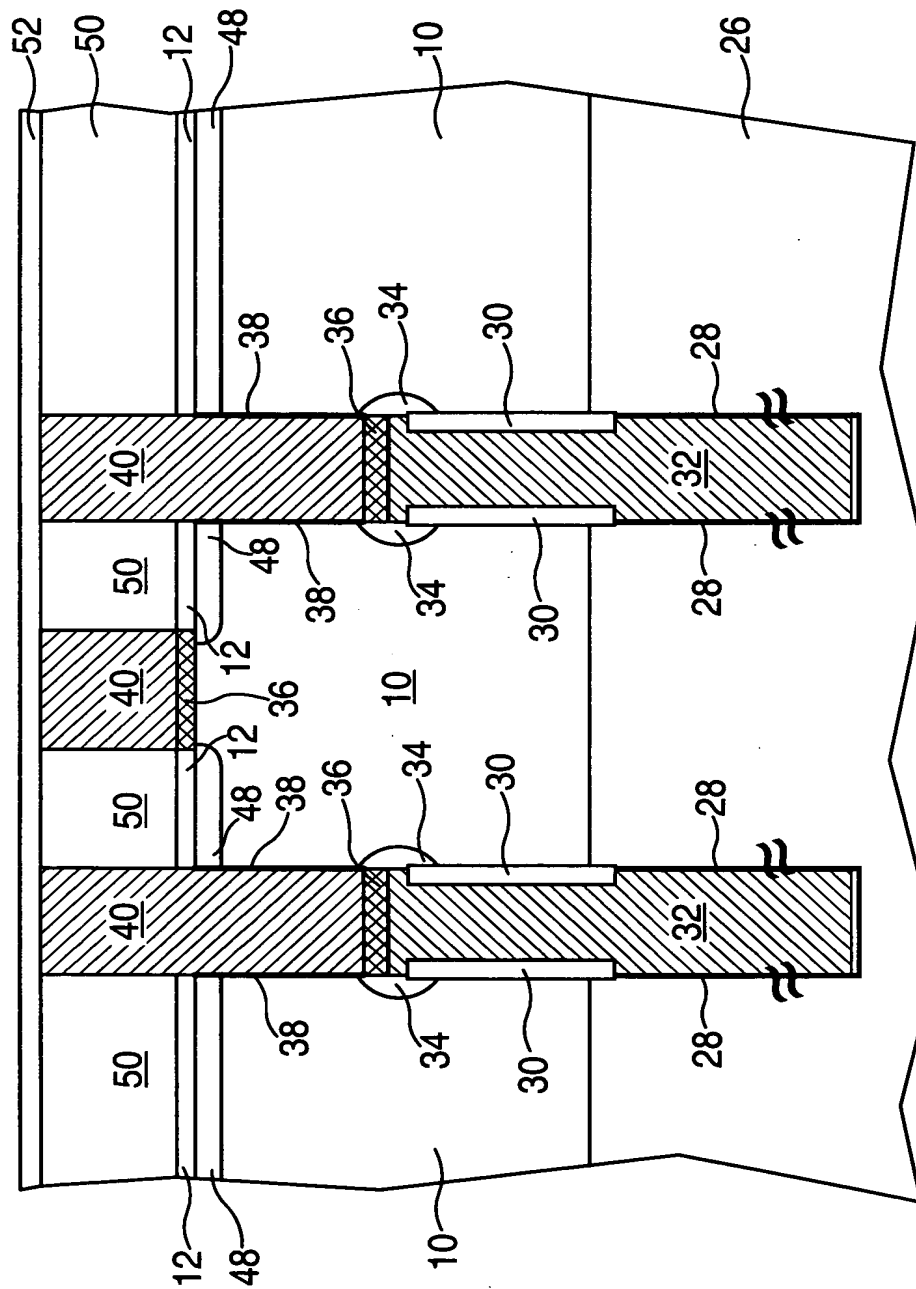
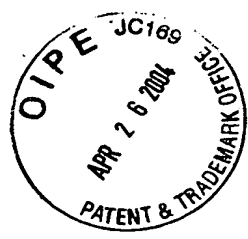
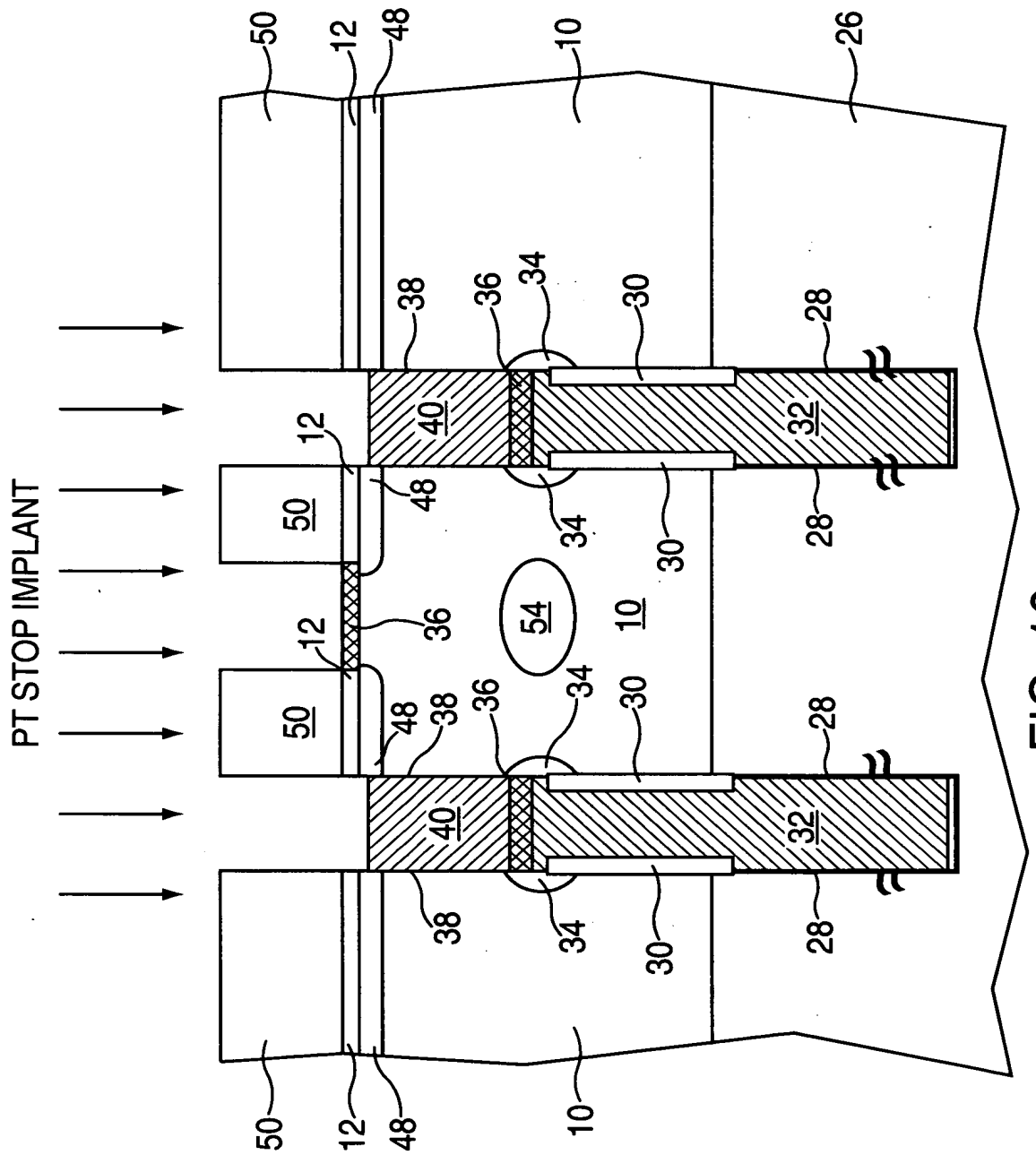
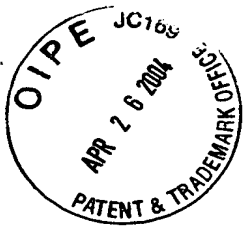


FIG. 9



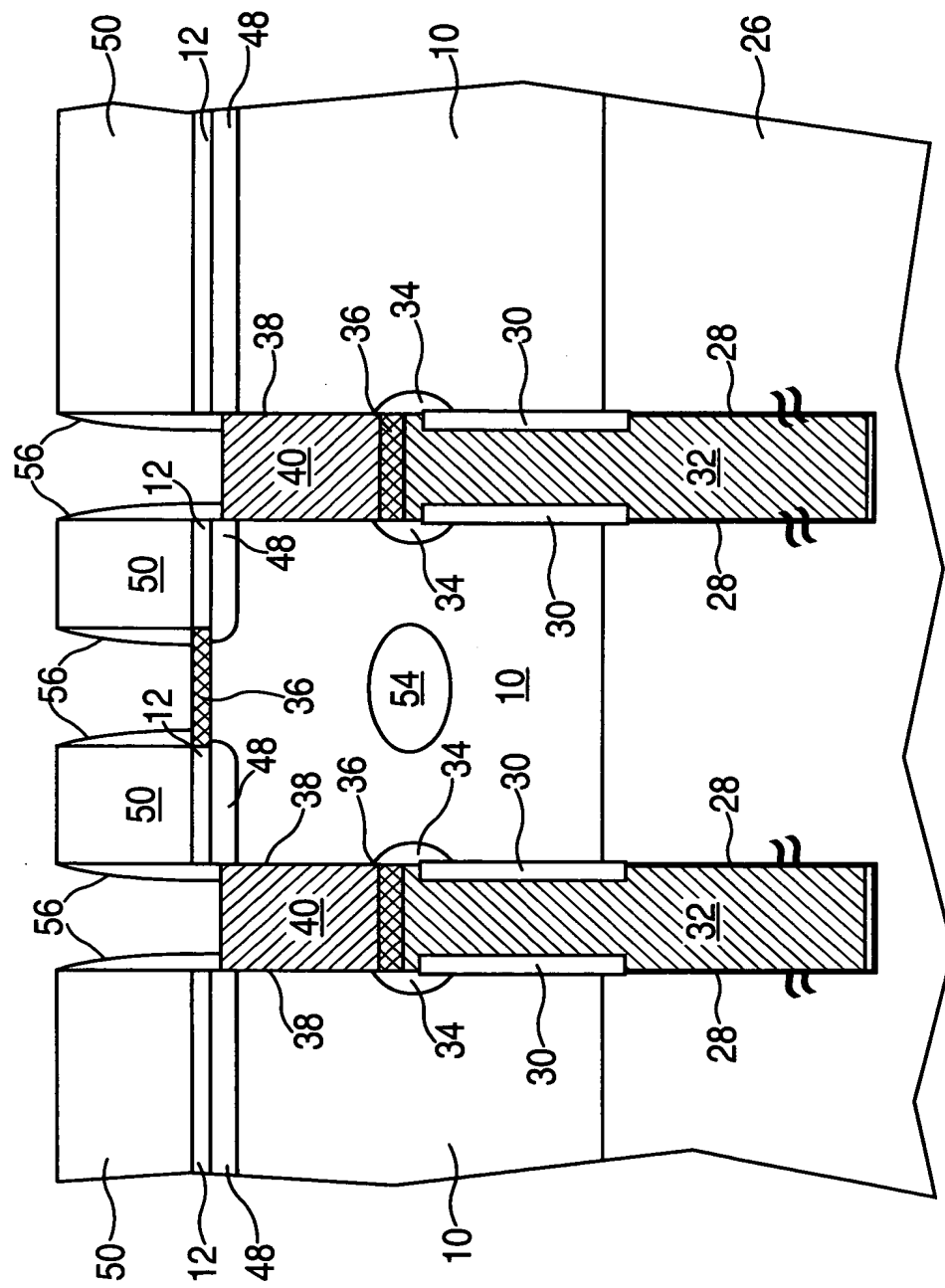
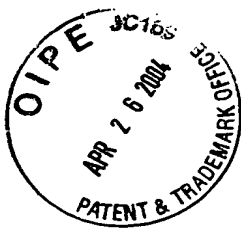


FIG. 11

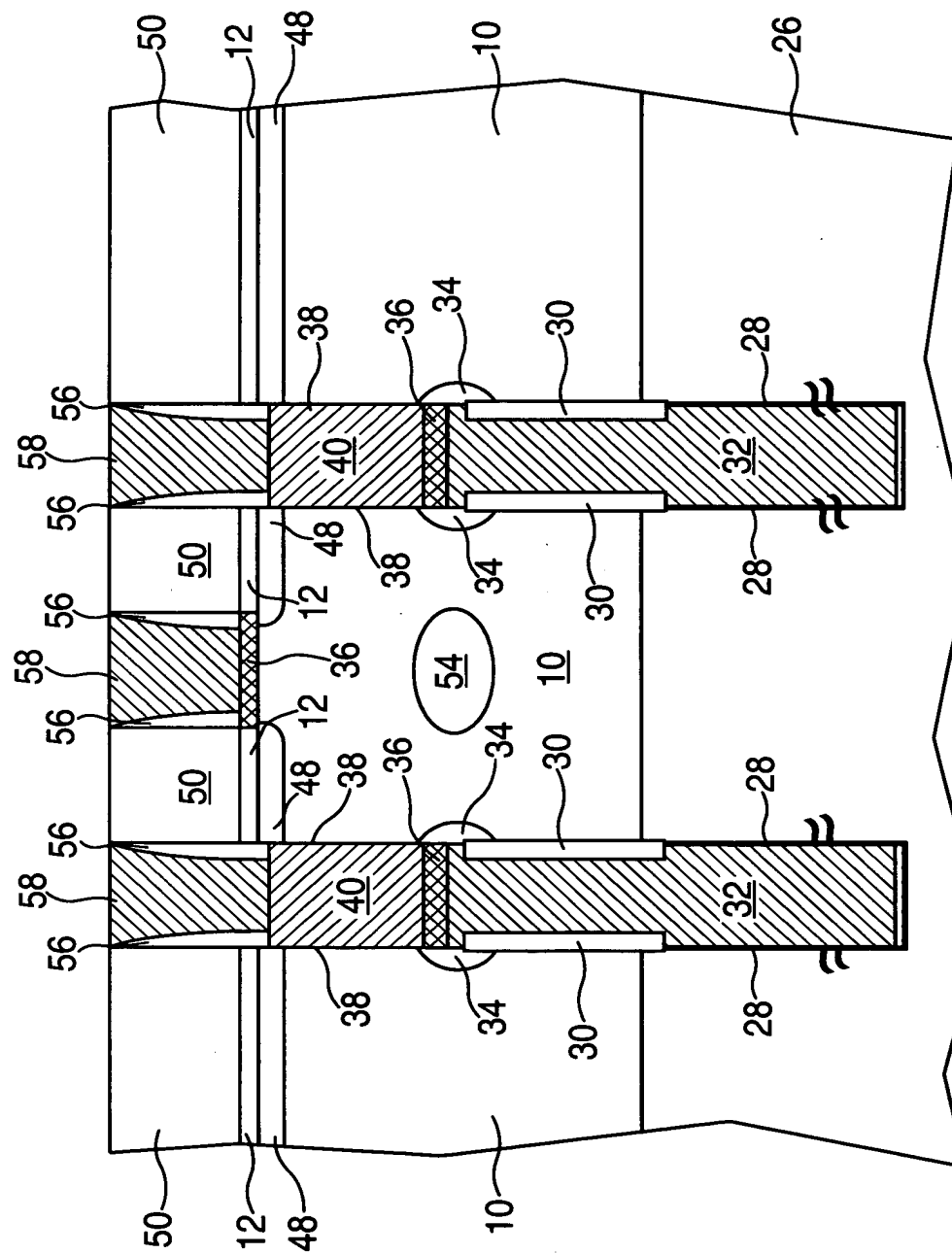
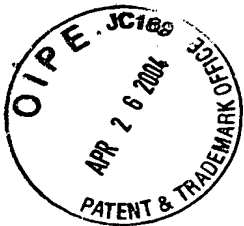


FIG. 12

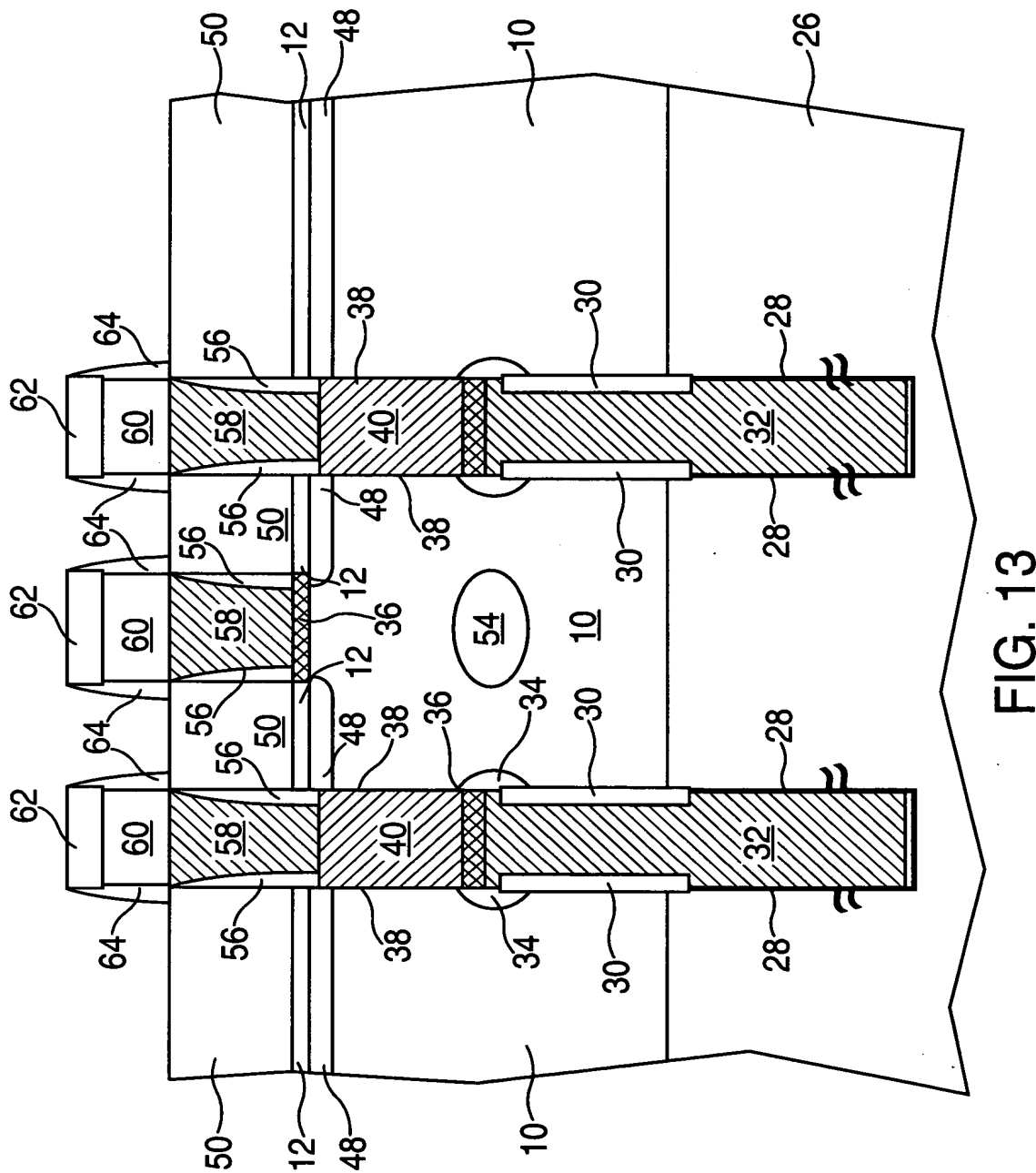
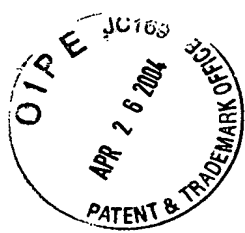


FIG. 13

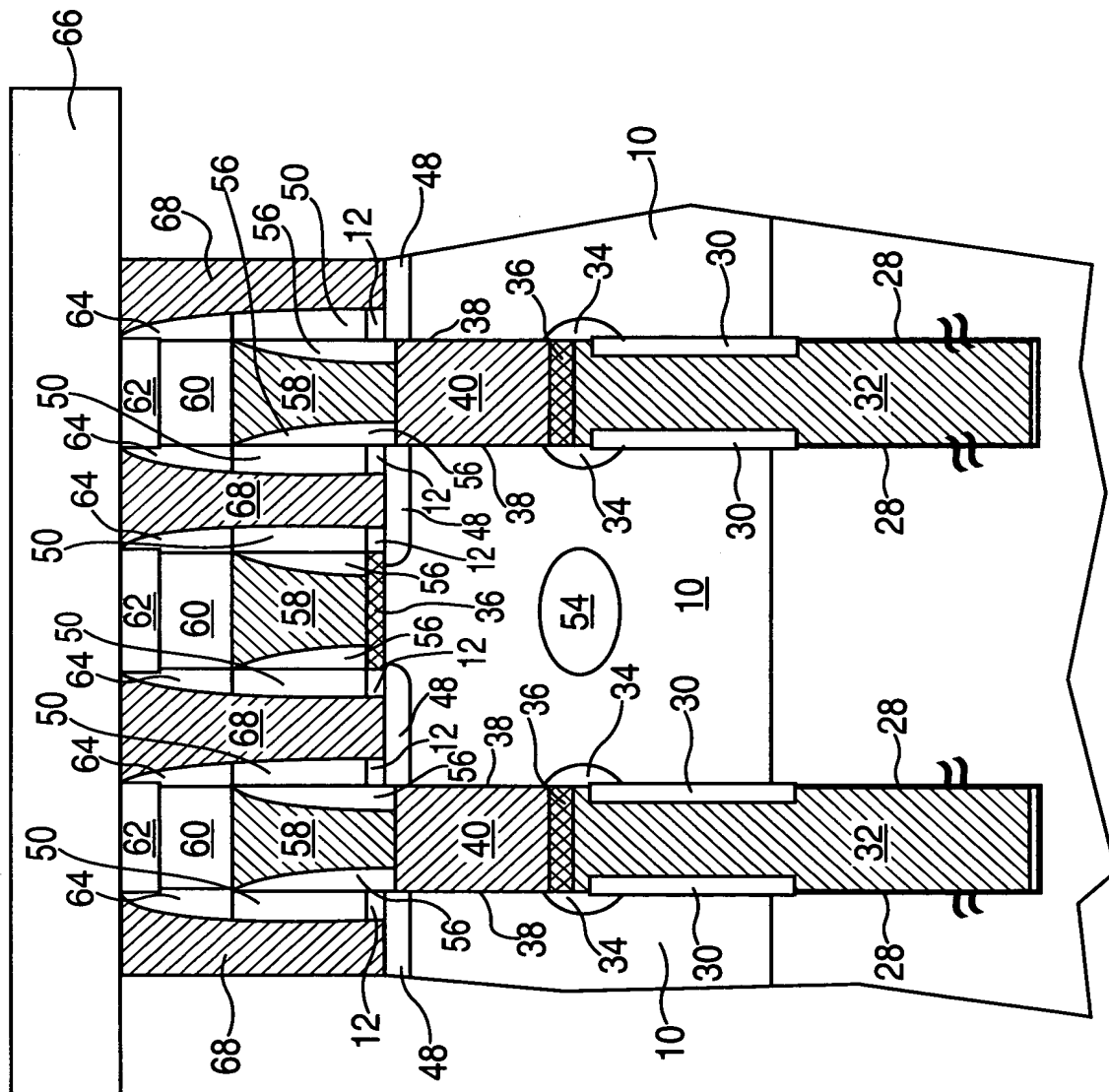
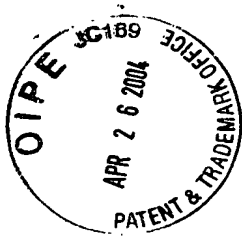


FIG. 14